筒体壁板预应力控制焊接变形的数值分析

吴向阳,张志毅1,李 文1,陈北平1,孟庆元2,史春元2

(1. 南车青岛四方机车车辆股份有限公司,山东 青岛 266111;2. 大连交通大学,辽宁 大连 116028)

摘 要:本文利用 ABAQUS 有限元软件,结合固有应变法,系统地分析了预应力对简体壁板上轴向 短梁和周向长梁焊接变形的影响规律。基于计算结果,设计预加应力以控制变形,并对其结构进行强度 和稳定性分析。

关键词:预应力;固有应变;焊接变形;强度分析

中图分类号:TG 457.1 文献标志码:B

Numerical Analysis for Welding Distortion Controlled by Pres-tress of Cylinder Wall

WU Xiangyang¹, ZHANG Zhiyi¹, LI Wen¹, CHEN Beiping¹, MENG Qingyuan², SHI Chunyuan²
(1. CSR Sifang Qingdao Locomotive Co., Ltd, Qingdao 266111, China;

2. Dalian Jiaotong University, Dalian 116028, China)

Abstract: This paper systematically analyzed the regularity of the welding distortion of axial short beams and circumferential large beams of cylinder wall affected by pre-stress by using ABAQUS finite element software combined with inherent stain method. Based on the calculation results, this paper designed pres-tress to control the welding distortion, and analyzed the strength and the stability.

Key words: Pres-tress, Inherent strain, Welding distortion, Strength analysis

大型筒体壁板采用模块化设计后,需将整个圆周分成 11 个单独的筒体壁板,即模块化。在每个模块单独焊接后,要进行整体的拼装和组焊,一般这个过程用自动焊进行。但在模块间的自动焊过程中,对壁板之间的间隙变形比较敏感,需保证每个模块的焊接变形量在 1.5 mm 以内。

为研究预应力对焊接变形的控制程度,本文分别对无预应力条件下和施加预应力条件下,简体壁板的焊接变形问题,进行了数值分析。

1 筒体壁板有限元模型

1.1 计算模型

本文所研究的结构由周向长梁、轴向短梁、壁板和刚性胎膜组成,整体结构的弧长为 12 640 mm,宽度为 3 878 mm,厚度为 6 mm。在壁板上焊接 2 条周向长梁和 14 条轴向短梁。

1.2 壁板材料的焊接工艺

焊接方法采用 CO_2 气体保护焊,焊缝形式为交错断续焊缝。在焊接过程中,周向长梁和轴向短梁 采用不同的焊接工艺参数,如表1 所示。

表 1 轴向短梁和周向长梁的焊接工艺参数

焊接构件	焊接电流/A	焊接电压/V	焊接速度/cm • s ⁻¹
轴向短梁	200	30	0.7
周向长梁	220	32	0.713

1.3 筒体壁板材料参数与边界条件

简体壁板的材料为 P265,其弹性模量 E 为 200 000 MPa,泊松比 v 为 0.3,屈服强度 σ_s 为 350

MPa.

利用 ABAQUS 软件提供的各向异性热膨胀系数的功能,使焊缝在周向和轴向有不同程度的收缩,并把应变载荷加在焊缝及其附近的单元。

在建立有限元模型时,将简体壁板的左右两端的边界条件设定为固支约束,即约束6个自由度。

1.4 网格划分

由于模拟的简体壁板尺寸较大,因此采用均匀 网格来处理,如图 1 所示。在计算中将刚性胎膜结构设为刚体,简体壁板设为可变形体,采用壳单元进行建模,单元类型为 S4R,模型中共有 26 151 个单元,26 456 个节点,网格尺寸为 50 mm×50 mm。本计算采用单元"生死"处理来模拟周向长梁和轴向短梁的焊接过程。

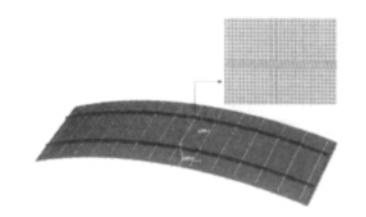


图 1 网格划分

2 焊接变形计算结果

2.1 无预应力时的焊接变形

无预应力时,通过有限元分析得到焊后壁板的应力云图,如图 2 所示。简体壁板边缘变形曲线如图 3 所示。

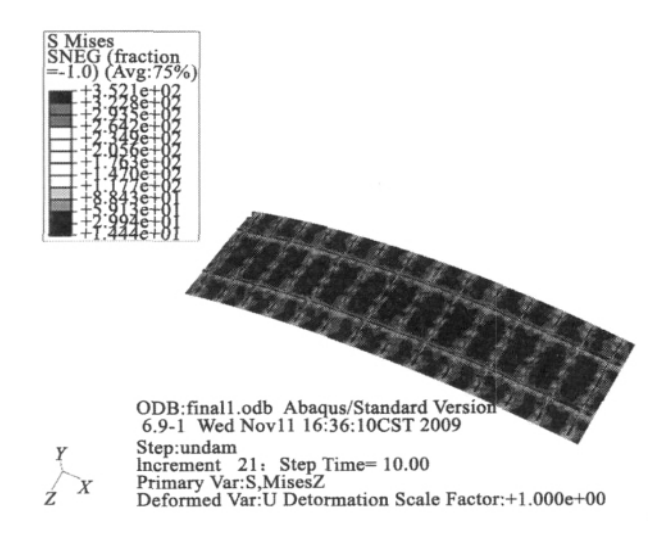


图 2 焊后的应力云图

由图 2 可知,焊后轴向短梁、周向长梁最大残余应力均达 352 MPa 左右,达到或超过材料屈服强度。由图 3 可知,在简体壁板边缘出现较大波浪变形,最大径向变形量达 4.94 mm,且两翼变形比中部稍大。

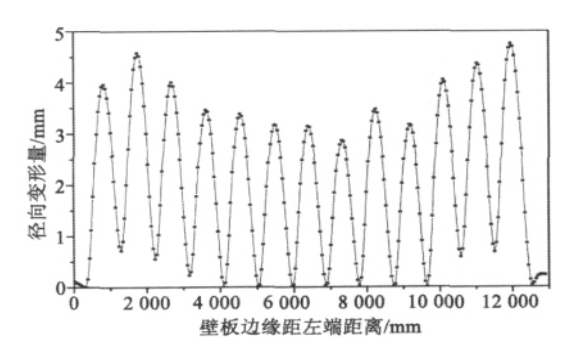


图 3 无预应力时筒体壁板边缘变形曲线 在无预应力时,对轴向短梁和周向长梁采用同时焊接,这样它们的变形量相互叠加产生更大的变形。

2.2 预应力条件下的焊接变形

由于模拟中预应力的施加是通过刚性胎膜的顶升实现的,顶升距离和预应力的关系见图 4。

由图 4 可知, 简体壁板的平均预应力值随刚性 胎膜顶升距离的增加而增加, 两者呈线性关系。

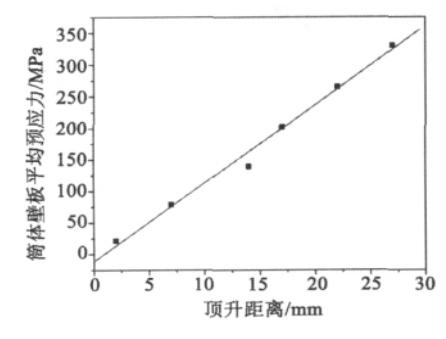


图 4 顶升距离与壁板平均预应力的关系 刚性胎膜上顶法在筒体壁板单元上施加预应

力。施加预应力后的应力分布如图 5 所示。

由图 5 可见,除筒体壁板左右边缘存在一定的 应力集中外,其他部位可得到均匀的预应力。

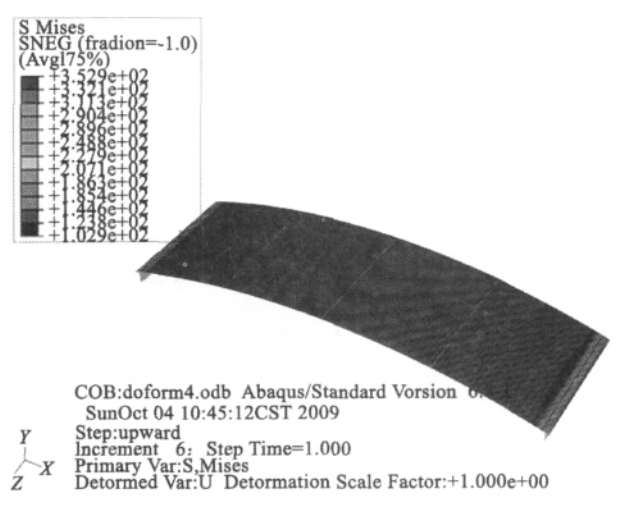


图 5 预应力分布云图

对只焊接轴向短梁和只焊接周向长梁的情况下 进行数值模拟。

1) 预应力下只焊接轴向短梁时的变形规律 从图 6 中可以看出,只焊接轴向短梁时,预应力 越大,焊后残余应力越大,且分布区域也有增大趋势。

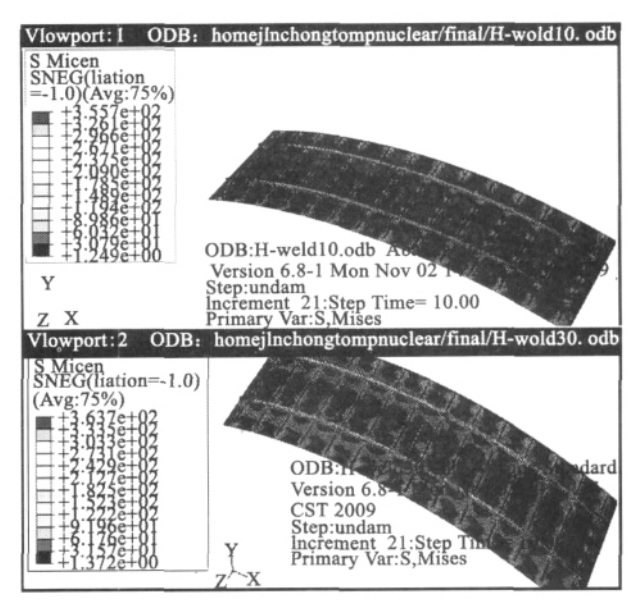


图 6 只焊接轴向短梁施加 0.15σ_s 和 0.21σ_s 预应力时的应力云图

由图 7 可知,随着预应力增大,焊后变形有增大趋势,特别是两翼变形显著。当平均预应力为 $0.45\sigma_s$ 时,最大径向变形量为 4.15 mm。由此可知,预应力对控制轴向短梁的焊接变形不利。

2) 只焊接周向长梁时的变形规律

只焊接周向长梁时,施加 0.15₀。和 0.21₀。预应力时,筒体壁板表面的残余应力分布如图 8 所示。由图 8 可见,随着预应力的增加,残余应力有减小的趋

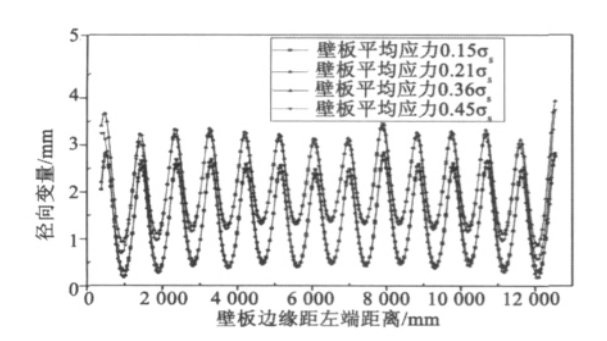


图 7 只焊接轴向短梁时筒体壁板边缘的 变形规律

势。

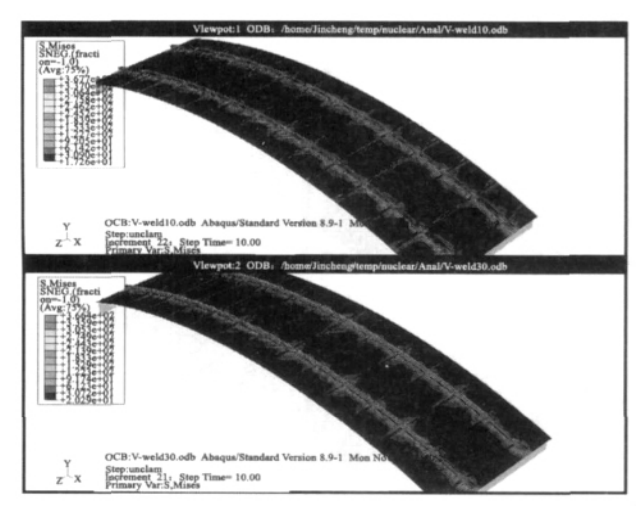


图 8 只焊接周向长梁施加 $0.15\sigma_s$ 和 $0.21\sigma_s$ 预应力时的应力云图

只焊接周向长梁时,焊后筒体壁板边缘变形有减小趋势,特别是中部的焊接变形大大减小,但筒体壁板的两翼变形还有较大的增大趋势。其变形规律如图 9 所示。

由图 9 可知,随预应力的增大变形量增大,但增大趋势不明显。

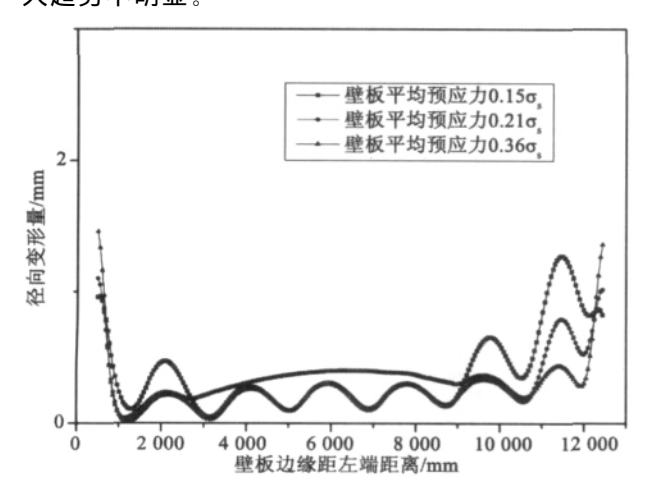


图 9 只焊接周向长梁时筒体壁板边缘的变形规律 对比上述只焊接轴向短梁和只焊接周向长梁时

的变形规律可知,焊后变形主要由于周向长梁引起。 3 结语

- 1) 在未施加预应力条件下,焊后筒体壁板边缘 出现明显的波浪变形,且最大径向变形量达 4.94 mm。
- 2) 预应力对控制轴向短梁焊接变形作用不大, 但预应力可以抑制周向长梁的焊接变形。
- 3) 采用先焊接轴向短梁,再施加预应力,最后焊接周向长梁的焊接顺序,随着预应力的增加,焊接变形逐渐减小。当预应力接近 $0.48\sigma_s$ 时,径向变形量下降到 $1.5~\mathrm{mm}$ 。
- 4) 筒体壁板的平均预应力和刚性胎膜顶升距 离呈线性关系。

参考文献

- [1] 陆赐麟. 预应力钢结构的经济效益与发展概况[J]. 钢结构,1986(2):15-16.
- [2] Zhou Guangtao, Liu Xueson. Welding deformation controlling of aluminum-alloy thin plate by two-direction prestress method[J]. Materials Science and Engineering A,2009 (499):147-152.
- [3] 付荣柏. 焊接变形的控制与矫正[M]. 北京: 机械工业出版社,2007.
- [4] 汪建华. 焊接数值模拟技术及其应用[M]. 上海: 上海交通大学出版社,2003.
- [5] 汪建华,陆皓,魏良武.固有应变有限元法预测焊接变形理论及其应用[J].焊接学报,2002,23(6):37-40.

作者简介:吴向阳(1983-),男,主要从事自动化焊接工艺等 方面的研究。

收稿日期:2011年6月23日

责任编辑 王亚昆

